

## ГЛАВА VI

# МЕТОДЫ ОПТИМИЗАЦИИ

### §1. Постановка задачи оптимизации.

#### Необходимые и достаточные условия экстремума

Говоря о задачах оптимизации выделяют несколько общих моментов:

- Определяют некоторую "скалярную" (что важно для нас) меру *качества* — *целевую функцию* " $\Phi$ ".
- Определяют набор *независимых* переменных и формулируются условия, которые характеризуют их приемлемые значения (размерность задачи и её ограничения).
- Решение оптимизационной задачи — это приемлемый набор значений переменных, которому отвечает *оптимальное* значение целевой функции.

Под *оптимальностью* (в нашем рассмотрении) обычно понимают *минимальность* целевой функции.

Пусть  $x \in \mathcal{M}$  — элемент метрического пространства  $\mathcal{M}$  и с помощью ограничений выделено множество  $\mathcal{X} \subseteq \mathcal{M}$ .

Говорят, что целевая функция  $\Phi(x)$  имеет локальный минимум на элементе  $x^* \in \mathcal{X}$ , т. е.  $x^* \in \operatorname{loc\,min}_X \Phi(x)$ , если существует некоторая конечная  $\epsilon$ -окрестность точки  $x^*$  — шар  $K_\epsilon(x^*)$ , такая, что

$$\Phi(x^*) < \Phi(x), \quad \forall x \in K_\epsilon(x^*), \quad 0 < \rho(x, x^*) < \epsilon. \quad *1) \quad (1)$$

У функции  $\Phi(x)$  может быть несколько локальных минимумов — множество  $\operatorname{loc\,min}_X \Phi(x)$ . Если же в этом множестве существует точка  $x^* \in \operatorname{loc\,min}_X \Phi$ , в которой достигается *наименьшее* значение функции

$$\Phi(x^*) = \inf_X \Phi(x), \quad (2)$$

то говорят о достижении в т.  $x^*$  *абсолютного* минимума\*2).

\*1) В случае (1) говорят о *строгом* минимуме (в смысле неравенства), тогда как  $\Phi(x^*) \leq \Phi(x)$  при  $\rho(x, x^*) < \epsilon$  говорят о нестрогом минимуме.

\*2) Мы ограничимся именно рассмотрением такого случая, когда глобальный экстремум функции совпадает с одним из её локальных минимумов.

Относительно целевой функции  $\Phi(x)$  естественно требовать её непрерывности, хотя и не всегда; а относительно множества  $\mathcal{X}$  — компактности и замкнутости этого множества. Напомним:

*Множество  $\mathcal{X}$  — компактно, если из каждого его бесконечного и ограниченного подмножества можно выделить сходящуюся последовательность точек.*

*Множество  $\mathcal{X}$  — замкнуто, если предел любой сходящейся последовательности точек  $\{x_n\}$  из  $\mathcal{X}$  принадлежит  $\mathcal{X}$ .*

В частности при  $\mathcal{X} = \mathcal{M}$  само  $\mathcal{M}$  должно быть банаховым пространством.

Мы ограничимся рассмотрением задачи (1) о локальном экстремуме. Задача (2) решается выбором наименьшего из соответствующих локальных минимумов.

Второе существенное ограничение — это рассмотрение задачи минимизации без ограничений, т. е.  $\mathcal{X} = \mathcal{M}$ :

- 1)  $\mathcal{X} = R^1$  — задача минимизации функции одного переменного;
- 2)  $\mathcal{X} = R^n$  — задача минимизации функции  $n$  переменных;
- 3)  $\mathcal{X}$  — гильбертово пространство и задача о минимизации функционала (скалярная целевая функция).

С решением задачи (1) в предположении соответствующей гладкости целевой функции  $\Phi(x)$  связывают *необходимое* условие экстремума (Эйлера)

$$\left. \frac{\delta\Phi}{\delta x} \right|_{x^*} = 0. \quad (3)$$

Для случая одного переменного это условие приводит к одному нелинейному уравнению

$$\Phi'(x) = 0.$$

В случае  $n$ -мерной задачи мы получаем систему нелинейных уравнений

$$\frac{\partial\Phi}{\partial x_k}(x_1, \dots, x_n) = 0.$$

В случае задачи минимизации функционала  $\Phi(x)$  уравнение (3), как правило, дифференциальное или интегро-дифференциальное уравнение. Например, для функционала

$$\Phi(x) = \int_a^b F(t, x(t), \dot{x}(t)) dt$$

получаем

$$\delta\Phi = 0 \quad \Leftrightarrow \quad \begin{cases} \frac{d}{dt} \left( \frac{\partial F}{\partial \dot{x}} \right) - \frac{\partial F}{\partial x} = 0 \\ + \text{краевые условия} \end{cases} \quad \begin{array}{l} \text{уравнение} \\ \text{Эйлера-Лагранжа} \end{array}$$

Численное решение задачи (3) — отдельная самостоятельная проблема (частично нами решенная). Как правило здесь используются итерационные методы, обладающие своими достоинствами и недостатками. Нас же будут интересовать в основном методы безусловной минимизации (1), не связанные прямо с решением необходимого условия (3).

## §2. Минимум функции одного переменного

### 2.1 Постановка задачи одномерной минимизации

Рассмотрим задачу безусловной минимизации функции одного переменного:

Требуется найти т.  $x^* \in R$  такую, что

$$\Phi(x^*) = \min_{x \in R} \Phi(x) \Leftrightarrow x^* \in \operatorname{loc} \min_{x \in R} \Phi(x). \quad (4)$$

Если функция  $\Phi(x) \in C^{(2)}(R)$  дважды непрерывно дифференцируема, то известны необходимое и достаточное условия минимума:

необходимое условие экстремума	достаточное условие экстремума	(5)
$\Phi'(x^*) = 0$ $\Phi''(x^*) \geq 0$	$\Phi'(x^*) = 0$ $\Phi''(x^*) > 0$	

(Взятые по отдельности — это соответствующие условия оптимальности точки  $x^*$  первого и второго порядков как необходимые, так и достаточные).

В таком случае, при нахождении в достаточно малой окрестности точки  $x^*$ , разложение целевой функции в ряд Тейлора с центром в точке  $x^*$  имеет вид

$$\Phi(x^* + h) = \Phi(x^*) + \underbrace{\Phi'(x^*)h}_{\equiv \text{в силу (5)}} + \frac{1}{2!} \Phi''(x^*) h^2 + o(h^2).$$

Мы говорим о *невыврожденности минимума* в точке  $x^*$ , если  $\Phi''(x^*) \neq 0$ , тем самым, согласно (5),  $\Phi''(x^*) > 0$ . В дальнейшем будем предполагать это условие выполненным.

Подчеркнем еще раз, что мы пытаемся рассмотреть способы минимизации непосредственно задачи (4), а не решение задачи (5) из необходимого условия экстремума. Хотя, конечно, это тесно связанные проблемы.

### 2.2 Методы минимизации нулевого порядка

Под методами минимизации *нулевого порядка* подразумевают группу методов не использующих явно производные целевой функции.

Предположим, что точки  $a$  и  $b$  определяют, возможно и достаточно грубо, интервал, где расположено значение точки минимума  $x^*$  задачи (4). Если считать, что внутри этого интервала функция  $\Phi(x^*)$  *униmodalна*, т. е. имеет единственный минимум, то одна из возможностей построения последовательности стягивающихся отрезков  $x^* \in [x_{k-1}, x_k]$ , локализующих  $x^*$  возможна на основании:

а) *метода дихотомии* — (разобрать самостоятельно!);

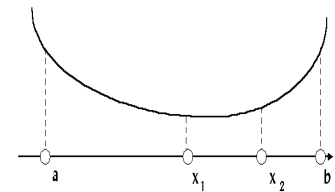
б) *метода "золотого сечения"*.

Пусть на  $[a, b]$  даны две внутренние точки  $x_1$  и  $x_2$ . Сравним значение целевой функции  $\Phi(x^*)$  в точках  $\{a; x_1; x_2; b\}$  и выберем из них наименьшее. Пусть это  $\Phi(x_1)$ .

Тогда минимум функции  $\Phi(x)$  — точка  $x^*$  — расположен на одном из соседних с точкой  $x_1$  отрезков и отрезок  $(x_2, b]$  можно из рассмотрения удалить.

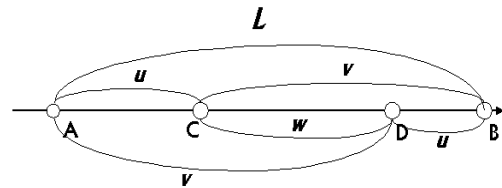
Теперь, на отрезке  $[a, x_2]$ , одна точка ( $x_1$ ) — уже есть. Добавим следующую —  $x_3$  и повторим отбор.

Как выгодно размещать точки? В методе "золотого сечения" поступают так: Напомним,



Точка  $C$  делит отрезок  $AB$  по правилу "золотого сечения", если отношение длины всего отрезка к длине его большей доли такое же, как и отношение длины большей доли к длине меньшей его доли.

$$\begin{cases} \frac{L}{v} = \frac{v}{u} \\ u + v = L. \end{cases}$$



Обозначив отношение длин отрезков через  $\tau$ , найдем:

$$\begin{cases} \frac{AB}{CB} = \frac{L}{v} = \frac{v}{u} = \tau > 1 \\ u + v = L \end{cases} \Leftrightarrow \tau^2 - \tau - 1 = 0 \Leftrightarrow \tau = \frac{1 + \sqrt{5}}{2} \approx 1,62. \quad (6)$$

Если далее на большем отрезке отложить меньший отрезок  $u = BD$  от точки  $D$  (или от точки  $C$ , то точка  $D$  делит  $BC$  по правилу золотого сечения, ибо  $\frac{CB}{BD} = \frac{v}{u} = \tau$ , причем  $BD$  — "большая" доля. Заметим, что  $AD = CB$  всегда.

Итак, пусть длины  $L_k$  частичных отрезков, локализирующих экстремум  $x^*$ , строились по правилу "золотого сечения". Это позволяет написать

$$\frac{L}{L_1} = \frac{L_1}{L_2} = \dots = \frac{L_{k-1}}{L_k} = \frac{L_k}{L_{k+1}} = \dots = \tau = \frac{1 + \sqrt{5}}{2}$$

$$L_{k-1} = L_k + L_{k+1}.$$

Перемножая, найдем

$$\frac{L}{L_1} \cdot \frac{L_1}{L_2} \cdot \dots \cdot \frac{L_{k-1}}{L_k} = \tau^k \Leftrightarrow L_k = \frac{L}{\tau^k}. \quad (7)$$

Таким образом последовательность длин частичных отрезков  $L_k \rightarrow 0$ , при  $k \rightarrow \infty$ . Мы получили, что итерационная процедура (6-7) — процедура первой степени точности. Сходимость метода "золотого сечения" линейная (со скоростью геометрической прогрессии).

**Замечание.** Формулы (6-7) дают достаточно медленную сходимость. Много раз вычисляется целевая функция  $\Phi(x)$ , но мало используется информация о самих значениях функции  $\Phi(x)$  на предыдущих шагах метода, только сравнение ">" или "<" при выборе очередной точки последовательности  $\{L_k\}$ .

### 2.3 Методы более высокого порядка (метод парабол)

Использование информации о значениях  $\Phi(x)$  или её производных позволяет аппроксимировать  $\Phi(x)$  многочленом в окрестности точки  $x_k$ , при этом

а) если  $\Phi(x) \in C^{(2)}$ , то из формулы Тейлора

$$\Phi(x) = \underbrace{\Phi(x_k) + \Phi'(x_k)(x - x_k) + \frac{1}{2!}\Phi''(x_k)(x - x_k)^2 + o((x - x_k)^2)}_{\Psi(x)}$$

В качестве  $x_{k+1}$  берется точка экстремума квадратичной функции  $\Psi(x)$  т. е.  $\Psi'(x_{k+1}) = 0$ . Получим

$$\Phi'(x_k) + (x - x_k)\Phi''(x_k) = 0 \quad \Leftrightarrow \quad x_{k+1} = x_k - \frac{\Phi'(x_k)}{\Phi''(x_k)}. \quad (8)$$

Мы получили итерационный процесс, совпадающий с методом Ньютона поиска корня уравнения  $\Phi'(x) = 0$ . Поэтому (8) обеспечивает не хуже, чем "квадратичную" сходимость в достаточно малой окрестности невырожденного экстремума  $x^*$ . Но на каждой итерации необходимо вычислять производные  $\Phi'(x_k)$  и  $\Phi''(x_k)$  целевой функции.

б) Если не прибегать к вычислению  $\Phi'(x_k)$  и  $\Phi''(x_k)$ , то по трем точкам  $x_{k-2}, x_{k-1}, x_k$  и соответствующим значениям  $\Phi(x_{k-2}), \Phi(x_{k-1})$  и  $\Phi(x_k)$  можно построить интерполяционный многочлен Ньютона (парабола)

$$N_2(x) = \Phi(x_k) + (x - x_k)\Phi(x_k, x_{k-1}) + (x - x_k)(x - x_{k-1})\Phi(x_k, x_{k-1}, x_{k-2})$$

и вычислить  $x_{k+1}$  как точку экстремума  $N_2(x)$ , т.е. координату "вершины" параболы.

$$N_2'(x) = 0 \Leftrightarrow \Phi(x_k, x_{k-1}) + (2x - (x_k + x_{k-1}))\Phi(x_k, x_{k-1}, x_{k-2}) = 0$$

$$x_{k+1} = \frac{x_k + x_{k-1}}{2} - \frac{\Phi(x_k, x_{k-1})}{\Phi(x_k, x_{k-1}, x_{k-2})} = \left\{ \begin{array}{l} \text{получить} \\ \text{самостоятельно} \\ \text{окончательную} \\ \text{расчётную} \\ \text{формулу} \end{array} \right\}. \quad (9)$$

### Замечания:

В обоих случаях обязательна проверка условия  $\Phi(x_{k+1}) < \Phi(x_k)$  для исходной целевой функции.

Сходимость метода парабол (9) выше чем линейная, но не квадратичная:

$$|x_{k+1} - x^*| \leq C |x_k - x^*|^{\sim 4/3}, \quad \lim_{k \rightarrow \infty} \frac{|x_{k+1} - x^*|}{|x_k - x^*|} = 0.$$

### §3. Минимум функции многих переменных

#### 3.1 Постановка задачи. Необходимые и достаточные условия экстремума

1) Если целевая функция  $\Phi(x) \equiv \Phi(x_1, \dots, x_n)$ ,  $x \in R^n$ , то минимизация  $\Phi(x)$  приводит к задаче:

$$x^* \in \operatorname{loc} \min_{R^n} \Phi(x); \quad \Phi(x^*) = \min_{K_\varepsilon(x^*)} \Phi(x). \quad (10)$$

Введем в рассмотрение градиент и гессиан функции  $\Phi$ :

$$\vec{g}(x) = \operatorname{grad} \Phi = \vec{\nabla} \Phi = \left\{ \frac{\partial \Phi}{\partial x_1}, \dots, \frac{\partial \Phi}{\partial x_n} \right\},$$

$$G(x) = \operatorname{hess} \Phi(x) = \left\| \frac{\partial^2 \Phi}{\partial x_i \partial x_j} \right\| \quad \text{— симметричная матрица вторых производных } \Phi(x_1, \dots, x_n).$$

Тогда разложение функции  $\Phi(\vec{x})$  в ряд Тейлора в окрестности точки  $\vec{x}$  при  $\Delta \vec{x} = h\vec{p}$ ;  $\|\vec{p}\| = 1$ ;  $h = \Delta x$  имеет вид:

$$\begin{aligned} \Phi(\vec{x} + h\vec{p}) &= \Phi(\vec{x}) + d\Phi(\vec{x}) + \frac{1}{2}d^2\Phi(\vec{x}) + o(\|\delta x\|^2) = \\ &= \Phi(\vec{x}) + (\operatorname{grad} \Phi, \vec{p})h + \frac{h^2}{2} \underbrace{(\operatorname{hess} \Phi(\vec{x}) \cdot \vec{p}, \vec{p})}_{(G\vec{p}, \vec{p})} + o(h^2). \end{aligned}$$

Величина  $(\vec{g}(\vec{x}), \vec{p}) \equiv \frac{\partial \Phi}{\partial p}$  — производная  $\Phi$  в точки  $\vec{x}$  по направлению  $\vec{p}$ ;  $(G\vec{p}, \vec{p}) = (\operatorname{hess} \Phi \vec{p}, \vec{p}) \equiv K(\vec{p})$  — "кривизна" поверхности  $u = \Phi(\vec{x})$  в точке  $\vec{x}$  по направлению  $\vec{p}$ .

2) Необходимые и достаточные условия минимума для дважды дифференцируемой функции  $\Phi(x_1, \dots, x_n)$ . Напомним

необходимое условие экстремума	достаточное условие экстремума	(11)
$\ \vec{g}(x^*)\  = 0$ $\operatorname{hess} \Phi(x^*) \geq 0$	$\ \vec{g}(x^*)\  = 0$ $\operatorname{hess} \Phi(x^*) > 0^{*1}$	

\*1) матрица  $A > 0$ , если  $\forall x \neq 0 (Ax, x) > 0$  — положительно определенная квадратичная форма.

### 3.2 Квадратичная функция аргумента $\vec{x}$

Опираясь на тейлоровское разложение естественно в качестве удобной аппроксимации гладкой функции  $\Phi(x)$  в окрестности некоторой точки (в том числе и точки возможного экстремума) использовать квадратичную функцию  $\Psi(\vec{x})$ :

$$\Psi(\vec{x}) = \frac{1}{2}(A\vec{x}, \vec{x}) + (\vec{b}, \vec{x}) + c,$$

где  $A$  — симметричная, невырожденная матрица  $A = A^T$ ,  $\det A \neq 0$ . Установим вид градиента  $\vec{\nabla}\Psi$  и гессиана  $G = \text{hess } \Psi$  функции  $\Psi(\vec{x})$ :

$$\begin{aligned} \Psi(\vec{x} + h\vec{p}) &= \frac{1}{2}(A(\vec{x} + h\vec{p}), \vec{x} + h\vec{p}) + (\vec{b}, \vec{x} + h\vec{p}) + c = \\ &= \left\{ \frac{1}{2}(A\vec{x}, \vec{x}) + (\vec{b}, \vec{x}) + c \right\} + h \left\{ \frac{1}{2}(A\vec{x}, \vec{p}) + \frac{1}{2}(A\vec{p}, \vec{x}) + (\vec{b}, \vec{p}) \right\} + \frac{h^2}{2}(A\vec{p}, \vec{p}) = \\ &= \Psi(\vec{x}) + h(A\vec{x} + \vec{b}, \vec{p}) + \frac{h^2}{2}(A\vec{p}, \vec{p}), \text{ т.е.} \end{aligned}$$

$$\text{grad}\Psi = A\vec{x} + \vec{b}; \quad \text{hess } \Psi(\vec{x}) = A — \text{const.} \quad (12)$$

Стационарная точка для  $\Psi(\vec{x})$  удовлетворяет условию:

$$\text{grad}\Psi(x^*) = 0 \quad \Leftrightarrow \quad Ax^* + b = 0 \quad \Leftrightarrow \quad Ax^* = -b — \text{СЛАУ} \quad (13)$$

Решение системы (13) зависит от ранга матрицы  $A$ . В случае совместной системы решение может быть и неединственным.

В окрестности стационарной точки  $\vec{x}^*$ :

$$\Psi(\vec{x}) = \Psi(\vec{x}^* + h\vec{p}) = \Psi(\vec{x}^*) + \frac{h^2}{2}(A\vec{p}, \vec{p}).$$

И поведение квадратичной функции определяется только свойствами матрицы  $A$ . Если  $A$  — симметричная невырожденная матрица, то существует ортонормированный базис (ОНБ) из собственных векторов матрицы  $A$ . Пусть  $\{\lambda_i, \vec{x}_i\}$  — собственные значения и собственные векторы матрицы  $A$ ,  $\{\vec{x}_i\}$  — ОНБ. Разложим направление  $\vec{p}$  по базису  $\{\vec{x}_i\}$  —  $\vec{p} = \sum_{i=1}^n \alpha_i \vec{x}_i$ , тогда

$$\Psi(\vec{x}^* + h\vec{p}) = \Psi(\vec{x}^*) + \frac{h^2}{2} \left( \sum_i \alpha_i \lambda_i \vec{x}_i, \sum_i \alpha_j \vec{x}_j \right) = \Psi(\vec{x}^*) + \frac{h^2}{2} \sum_i \lambda_i \alpha_i^2. \quad (14)$$

Характер изменения  $\Psi(\vec{x})$  при движении вдоль  $\vec{x}_k$  полностью определяется знаком  $\lambda_k$ . Если  $A > 0$ , то все  $\lambda_i > 0$  и  $x^*$  — точка минимума.

### 3.3 Рельеф поверхности целевой функции $\Phi(x)$ . Поверхности уровня

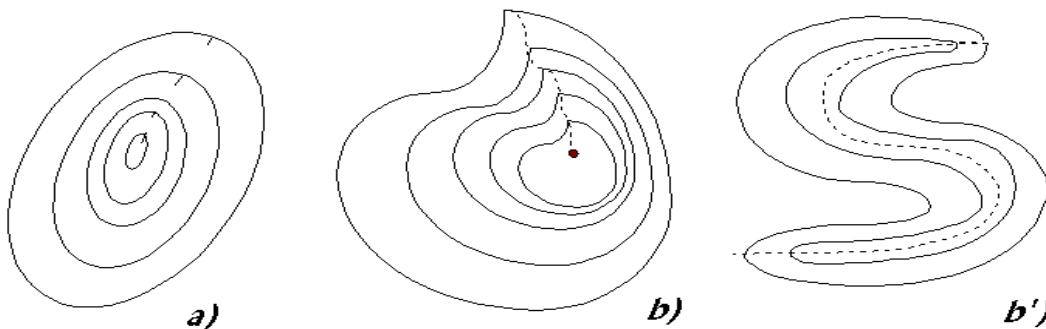
Трудности и проблемы задачи минимизации, характерные для общего случая, столь же ясно проявляются и при рассмотрении минимизации функции двух переменных  $\Phi(x, y)$ . Геометрию поверхности  $z = \Phi(x, y)$  представляют с помощью "плоских" линий уровня

$$L_0 = \{(x, y) : \Phi(x, y) = \Phi(x_0, y_0) = \Phi_0 = const\},$$

являющихся проекциями на плоскость  $OXY$  сечения поверхности  $z = \Phi(x, y)$  плоскостью  $z_0 = \Phi_0$ .

Выделяют три основных типа рельефа поверхности.

а) котловинный — линии уровня похожи на концентрические эллипсы с главными осями параллельными собственным векторам  $\text{hess } \Phi(x, y)$ . В малой окрестности невырожденного минимума  $(x^*, y^*)$   $\text{hess } \Phi(x, y) > 0$  и рельеф поверхности именно котловинный.



б) овражный — если линия уровня кусочно-гладкая, то геометрическое место точек (ГМТ) излома по всем линиям уровня называют истинным оврагом (если угол излома направлен в сторону возрастания функции) или истинным гребнем (если угол излома направлен в сторону убывания функции).

Однако чаще приходится иметь дело с разрешимыми оврагами и гребнями (ГМТ наибольшей кривизны — рисунок  $b'$ ). Например, одна из стандартных тестовых функций многомерной минимизации (функция Розенброка)

$$\Phi(x, y) = 100(y - x^2)^2 + (1 - x)^2$$

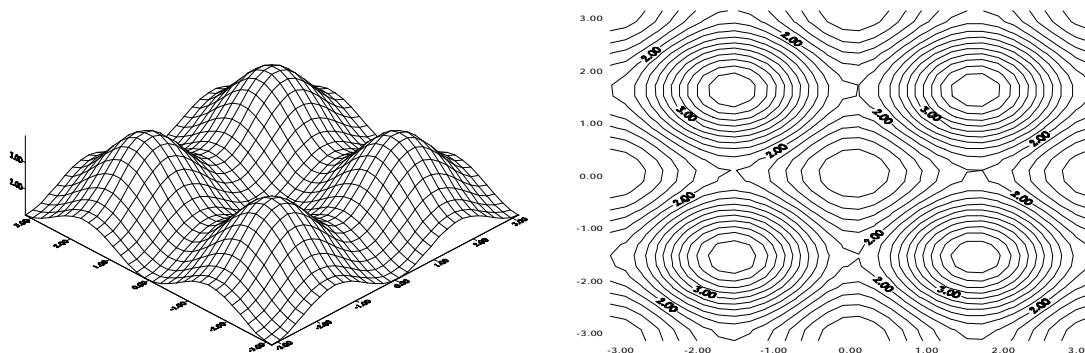
обладает пологим серповидным ("банановидным") ущельем и имеет абсолютный минимум в точке  $x^*(1, 1)$ .

в) неупорядоченный тип рельефа — характеризуется наличием многих максимумов, минимумов и седловин. Приведем в качестве примера функцию

$$\Phi(x, y) = (1 + \sin^2 x)(1 + \sin^2 y)$$

с достаточно неупорядоченным рельефом:





Если рассматривать дифференцируемую в каждой точке функцию  $\Phi(\vec{x})$ , то её производная по направлению  $\vec{p}$

$$\frac{\partial \Phi}{\partial p} = (\text{grad} \Phi, \vec{p}) = \vec{g} \cdot \vec{p}$$

обладает характерными свойствами на поверхности уровня

- производная по направлению градиента — максимальна;
- вдоль линии уровня  $\frac{\partial \Phi}{\partial p}$  равна нулю и градиент  $\vec{g}$  перпендикулярен линии уровня в каждой точке.

### 3.4 Спуск по координатам

Все методы минимизации сводятся к построению траектории спуска  $\{M_k\}$  вдоль которой целевая функция убывает:

$$\Phi(M_{k+1}) < \Phi(M_k)$$

(или не возрастает).

Опишем *координатный спуск*. Выберем нулевое приближение  $M_0(x_1^{(0)}, \dots, x_n^{(0)})$  и зафиксируем все значения координат, кроме первой. Тогда  $\Phi(\vec{x})$

$$\Phi(x_1, x_2, \dots, x_n) \equiv \varphi_1(x_1)$$

становится функцией одного переменного.

Используя методы минимизации функции одного переменного, найдем точку её минимума  $x_1^{(1)}$  и совершим шаг из  $M_0$  в  $M_0^{(1)}(x_1^{(1)}, x_2^{(0)}, \dots, x_n^{(0)})$ .

На  $k$ -м шаге спуска: Из точки  $M_0^{(k-1)}(x_1^{(1)}, \dots, x_{k-1}^{(1)}, x_k^{(0)}, \dots, x_n^{(0)})$  спускаемся по  $x_k$  минимизируя

$$\varphi_k(x_k) \equiv \Phi \left( x_1^{(1)}, \dots, x_{k-1}^{(1)}, x_k, x_{k+1}^{(0)}, \dots, x_n^{(0)} \right),$$

$$x_k^{(1)}: \varphi_k^{(1)} = \min_{x_k} \varphi_k(x_k) \quad (15)$$

в точку

$$M_0^{(k)} \left( x_1^{(1)}, \dots, x_k^{(1)}, x_{k+1}^{(0)}, \dots, x_n^{(0)} \right).$$

И так до тех пор, пока не выполним один цикл спуска по координатам. Последнюю точку спуска назовем  $M_1 \equiv M_0^{(n)}(x_1, \dots, x_n) \equiv M_1^{(0)}(x_1, \dots, x_n)$ . Траектория  $\{M_k\}$  — траектория спуска, поскольку

$$\Phi(M_k) \leq \Phi(M_{k-1}).$$

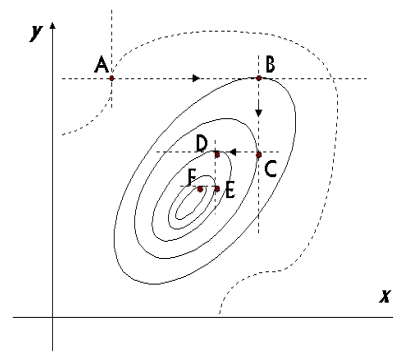
В силу ограниченности снизу значений  $\Phi(x)$  значением  $\Phi(x^*) \equiv \Phi^*$  (мы предполагаем, что экстремум существует), то

$$\Phi_k \geq \Phi^* \Rightarrow \lim_{k \rightarrow \infty} \Phi_k = \tilde{\Phi} \geq \Phi^* (!)$$

Будет ли здесь равенство, т.е. сходится ли спуск по координатам к минимуму и как быстро, зависит от функции  $\Phi(\vec{x})$  и выбранного начального приближения  $\vec{x}_0$  (оно должно попасть в область влияния локального экстремума).

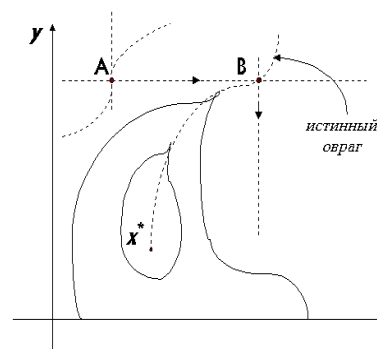
Рассмотрим трактовку координатного спуска на примере функции двух переменных:

Двигаясь по прямой  $AB$  мы пересекаем линии уровня  $(x, y) = const$ , при этом  $\Phi(x, y)$  либо возрастает, либо убывает в зависимости от направления движения. Только в одной точке  $B$ , где данная прямая касается линии уровня, функция  $\Phi(x, y)$  имеет минимальное значение в данном направлении (экстремум по  $x$  или по  $y$ ). Найдя такую точку, завершаем спуск по данному направлению.



Заметим, что в координатном спуске соответствующие направления взаимно ортогональны.

Если в рельефе наличествует "истинный" овраг, то спуск (в данном случае первый же спуск в точку  $B$ ) приводит к попаданию на "дно" оврага. А поскольку он ориентирован достаточно произвольно, то дальнейший спуск может оказаться невозможным.



Хотя минимум еще и не достигнут!

Если же  $\Phi(\vec{x})$  достаточно гладкая функция и минимум невырожден,  $\text{hess } \Phi(\vec{x}^*) > 0$ , то в окрестности  $\vec{x}^*$  рельеф котловинный и координатный спуск ведет нас к локальному минимуму при произвольном начальном приближении  $\vec{x}_0$  в этой окрестности.

Рассмотрим достаточные условия сходимости координатного спуска на примере функции двух переменных:

**Теорема 1.** Пусть  $D$  - множество уровня, ограниченное линией уровня  $\Phi(x, y) = \Phi_0$ , т.е.

$$D = \{(x, y) : \Phi(x, y) \leq \Phi(x_0, y_0)\},$$

замкнутая ограниченная область и в  $D$  функция  $\Phi(x, y)$  дважды дифференцируема, причем

$$\Phi_{xx} \geq a > 0; \Phi_{yy} \geq b > 0; |\Phi_{xy}| \leq c \text{ и } ab > c^2. \quad *1) \tag{15}$$

Тогда траектория координатного спуска  $\{M_k\}$  (14) из произвольной точки  $M_0 \in D$  сходится к локальному минимуму  $x^*$  в области  $D$ .

**Доказательство.** Докажем сходимость  $grad\Phi(M_k)$  на траектории спуска  $\{M_k\}$ . Проследим за изменением  $|\Phi_x|$  и  $|\Phi_y|$  на траектории спуска  $\{M_k\}$ . Поскольку  $\Phi(x, y)$  вдоль траектории спуска не возрастает, то все точки  $M_k \in D_0$ . Пусть предыдущий цикл спусков закончился в точке  $A$ , тогда

$$\Phi_y(A) = 0, \quad |\Phi_x(A)| = U \neq 0.$$



Попав в точку экстремума  $B$  на прямой  $AB$  получим следующие компоненты градиента

$$|\Phi_y(B)| = V \neq 0, \quad \Phi_x(B) = 0.$$

Теперь нетрудно получить, что

$$\begin{cases} U = |\Phi_x(B) - \Phi_x(A)| = |\Phi_{xx}(\xi)| \cdot |x_B - x_A| \geq a \cdot \rho(A, B) \\ V = |\Phi_y(B) - \Phi_y(A)| = |\Phi_{xy}(\eta)| \cdot |x_B - x_A| \leq c \cdot \rho(A, B) \end{cases} \Rightarrow Uc \geq Va.$$

Спустившись далее по направлению  $BC$  в точку экстремума  $C$ , найдём

$$\begin{cases} V = |\Phi_y(C) - \Phi_y(B)| = |\Phi_{yy}(\xi)| \cdot |y_C - y_B| \geq b \cdot \rho(B, C) \\ W = |\Phi_x(C) - \Phi_x(B)| = |\Phi_{xy}(\eta)| \cdot |y_C - y_B| \leq c \cdot \rho(B, C) \end{cases} \Rightarrow Vc \geq Wb.$$

Окончательно, за один цикл спуска, получаем

$$W \leq \frac{c}{b}V \leq \frac{c^2}{ab}U = q \cdot U,$$

причём, в силу условий теоремы (15),  $q < 1$ .

Итак, за один цикл спусков  $|\Phi_x|$  уменьшился в  $q$  раз. Аналогично, со сдвигом на  $1/2$  цикла,  $|\Phi_y|$  уменьшится в  $q$  раз. Выполнив  $n$  циклов координатного спуска получим, что

$$|\Phi_x|_{(n)} \leq q^n |\Phi_x|_{(0)} \implies |\Phi_x| \xrightarrow[n \rightarrow \infty]{} 0 \text{ и } |\Phi_y| \xrightarrow[n \rightarrow \infty]{} 0.$$

Далее, в окрестности точки экстремума  $x^*$  компоненты градиента можно разложить по формуле Тейлора

$$\begin{cases} \Phi_x(M) = \underbrace{\Phi_x(M^*)}_{\equiv 0} + \frac{\partial \Phi_x}{\partial x}(M^*) \cdot \Delta x + \frac{\partial \Phi_x}{\partial y}(M^*) \cdot \Delta y + \dots \\ \Phi_y(M) = \underbrace{\Phi_y(M^*)}_{\equiv 0} + \frac{\partial \Phi_y}{\partial x}(M^*) \cdot \Delta x + \frac{\partial \Phi_y}{\partial y}(M^*) \cdot \Delta y + \dots \end{cases} \left| \begin{array}{l} \Delta x = x - x^* \\ \Delta y = y - y^*. \end{array} \right.$$

Пренебрегая в разложении слагаемыми высших порядков, получаем линейную систему относительно приращений координат  $\Delta x$  и  $\Delta y$ . По условию теоремы (15) гессиан  $G(M^*) > 0$ , тем самым полученная система совместна и можно выразить  $\Delta x$  и  $\Delta y$  через линейную комбинацию компонент градиента в точке  $M = M_{(n)}$ . При этом  $\Delta x, \Delta y \rightarrow 0$  на траектории  $\{M_k\}$ ,  $M_k \rightarrow M^*$ .

Итак:

\*1)  $G(x, y) \geq d > 0$  в  $D$ . Используя критерий Сильвестра можно сформулировать многомерный аналог этого условия.

- Вблизи точки экстремума  $M^*$  сходимость координатного спуска и по координатам, и по градиенту *линейная* (достаточно медленная, что с практической точки зрения плохо);
- по "циклам" спусков можно делать ускорения по методу Эйткена;
- При попадании траектории спуска в разрешимый овраг расчет практически невозможен (слишком медленная сходимость при произвольной ориентации оврага относительно координатных осей). Поэтому выгоднее использовать методы, обладающие повышенным порядком точности.

### 3.5 Градиентные методы минимизации

В общем случае для траектории спуска  $\{M_k\}$  :  $\Phi_{k+1} < \Phi_k$  при минимизации достаточно гладких функций можно сформулировать *достаточные* условия сходимости соответствующего метода спуска, характеризующие изменение функции  $\Phi$  и её градиента  $\vec{g} = \text{grad}\Phi$  на траектории  $\{M_k\}$ .

Пусть очередной шаг совершается вдоль направления  $\vec{p}_k$  и приводит нас в точку  $M_{k+1}$ :

$$\vec{x}_{k+1} = \vec{x}_k + \vec{p}_k h_k.$$

Шаг  $h_k$  выбирается из условия минимальности  $\Phi(M)$  вдоль  $\vec{p}_k$

$$h_k : \varphi(h_k) = \min_h \varphi(h) = \min_h \Phi(\vec{x}_k + h\vec{p}_k).$$

Сформулируем достаточные условия сходимости метода спуска.

**Теорема 2.** Пусть

- 1)  $\Phi(\vec{x})$  – дважды дифференцируемая функция;
- 2) множество уровня

$$D(\Phi(\vec{x}_0)) = \{\vec{x} : \Phi(\vec{x}) \leq \Phi(\vec{x}_0)\}$$

ограничено и замкнуто;

- 3) на каждой итерации

- а) направление  $\vec{p}_k$  – "существенное направление спуска":

$$\exists \beta < 0, \quad \vec{p}_k \vec{g}_k \leq \beta < 0$$

- б)  $\Phi(x)$  "существенно убывает" (т.е. выбрано соответствующее ограничение на шаг):

$$\begin{aligned} \exists \mu_1, \quad \mu_2 : 0 < \mu_1 \leq \mu_2 \leq 1 \\ -\mu_1 h_k \vec{g}_k \cdot \vec{p}_k \leq \Phi_k - \Phi_{k+1} \leq -\mu_2 h_k \underbrace{\vec{g}_k \cdot \vec{p}_k}_{\text{отнц. число}} \end{aligned}$$